У С Л О В Н Ы Е О Б О З Н А Ч Е Н И Я

Стратиграфическая шкала

КАЙНОЗОЙ
- ЧЕТВЕРТИЧНАЯ
  - ГОЛОЦЕН
  - ПЛЕЙСТОЦЕН
    - НЕОПЛЕЙСТОЦЕН
      - ВЕРХНЕЕ
      - СРЕДНЕЕ
      - НИЖНЕЕ
    - ЭОПЛЕЙСТОЦЕН
- НЕОГЕН
  - ПЛИОЦЕН
  - МИОЦЕН
- ПАЛЕОГЕН
  - ОЛИГОЦЕН
  - ЭОЦЕН
  - ПАЛЕОЦЕН

МЕЛ
- ПОЗДНИЙ
- РАННИЙ

ЮРА
- ПОЗДНЯЯ
- СРЕДНЯЯ
- РАННЯЯ

ТРИАС
- ПОЗДНИЙ
- СРЕДНИЙ
- РАННИЙ

ПЕРМЬ
- ПОЗДНЯЯ
- РАННЯЯ

КАРБОН
- ПОЗДНИЙ
- СРЕДНИЙ
- РАННИЙ

ДЕВОН
- СРЕДНИЙ–ПОЗДНИЙ

КЕМБРИЙ
- СРЕДНИЙ

СХЕМА КОРРЕЛЯЦИИ ГЕОЛОГИЧЕСКИХ ОБРАЗОВАНИЙ РАЗЛИЧНЫХ ГЕОЛОГИЧЕСКИХ РАЙОНОВ И ПЛОЩАДЕЙ

ТАЙМЫРО-СЕВЕРОЗЕМЕЛЬСКИЙ И СЕВЕРО-СИБИРСКИЙ ГЕОЛОГИЧЕСКИЕ РАЙОНЫ

αQ_IV**
αQ_III sr
αQ_III kr
gQ_III mr
αQ_II tz²–Q_III kz
gQ_II sm–tz
amN₂–Q₁
mP₂p
l_eg Q_III mr–sr
m Q_III mr–kr

АКВАТОРИАЛЬНО-ШЕЛЬФОВЫЙ ЛАПТЕВСКИЙ ГЕОЛОГИЧЕСКИЙ РАЙОН

sm Q_IV
N₂–Q
P₃²–N₁

УСТЬ-АНАБАРСКИЙ ГЕОЛОГИЧЕСКИЙ РАЙОН — РАССОХИНСКО-БАЛАХНИНСКАЯ ГЕОЛОГИЧЕСКАЯ ПЛОЩАДЬ

K₁

ЧЕРНОХРЕБЕТНИНСКО-НОРДВИКСКИЙ ГЕОЛОГИЧЕСКИЙ РАЙОН

ЦВЕТКОВСКАЯ ГЕОЛОГИЧЕСКАЯ ПЛОЩАДЬ: K₁₋₂bg; K₁og; K₁rs; K₁sn; K₁tg; K₁bl; J₃–K₁ph; J₂₋₃tč+čh; J₂ar+jur; J₁₋₂zm÷ap

НОРДВИКСКАЯ ГЕОЛОГИЧЕСКАЯ ПЛОЩАДЬ: K₁₋₂bg; K₁og; K₁rs; K₁sn; K₁tg; K₁bl; J₃–K₁ph; J₂₋₃tč+sg; J₂ar+jur; J₁₋₂zm÷hr

ХЕТСКО-АНАБАРСКИЙ ГЕОЛОГИЧЕСКИЙ РАЙОН — АНАБАРСКАЯ ГЕОЛОГИЧЕСКАЯ ПЛОЩАДЬ

K₁og; K₁rs; K₁sn; K₁tg; K₁bl; K₁hb; J₃–K₁bul; J₂₋₃tč+sg; J₂ar+jur; J₁₋₂zm÷sb

ЮЖНО–БЫРРАНГСКИЙ ГЕОЛОГИЧЕСКИЙ РАЙОН — ОЗЕРОТАЙМЫРСКАЯ ГЕОЛОГИЧЕСКАЯ ПЛОЩАДЬ

ωT₂₋₃d; υT₂₋₃d; βT₂₋₃vs; εT₂₋₃at; ωvT₁l; βT₁b; P₂čr; P₂bk; P₂sk; P₂br; C₂–P₁tr; C₂mk; C₂–P

ЦВЕТКОВСКО–НОРДВИКСКИЙ ГЕОЛОГИЧЕСКИЙ РАЙОН

ЧЕРНОХРЕБЕТНИНСКАЯ ГЕОЛОГИЧЕСКАЯ ПЛОЩАДЬ: T₃os+lm; T₂mr+kl; γT₁ul; T₁is+pr; T₁lo; T₁kš÷vt; βT₁b; P₂mr; P₂sl

НОРДВИК-АНАБАРСКАЯ ГЕОЛОГИЧЕСКАЯ ПЛОЩАДЬ: T₃os+čd; T₂ua+gr; T₁is+ps; T₁–₃; T₁el; βT₁kt; P₂vk+ms*; P₂–T₁tt+nk*

ЛЕНО-АНАБАРСКИЙ ГЕОЛОГИЧЕСКИЙ РАЙОН — ПОПИГАЙ-ДАЛДЫНСКАЯ ГЕОЛОГИЧЕСКАЯ ПЛОЩАДЬ

T₁₋₃; τβT₁₋₂bl; νωT₁₋₂lt; T₁pr; βT₁pr; βT₁kt; P₃pt; P₁kt; C₂₋₃hn; Є₂dl

ФАЛАБИГАЙ-НОРДВИКСКИЙ ГЕОЛОГИЧЕСКИЙ РАЙОН

ФАЛАБИГАЙСКАЯ ГЕОЛОГИЧЕСКАЯ ПЛОЩАДЬ: C₁dk÷vt; D₂₋₃dp+sv

НОРДВИКСКАЯ ГЕОЛОГИЧЕСКАЯ ПЛОЩАДЬ: C₁; D₂₋₃sp÷D₃fm

СЕВЕРО-АНАБАРСКИЙ ГЕОЛОГИЧЕСКИЙ РАЙОН

C₁; Є₂dl

*Свиты распространены также в северной части Лено-Анабарского геологического района
**Образования неоген-четвертичного возраста на карте не показаны

Геологические подразделения

Геологические подразделения	Формационная принадлежность	Минерагеническая специализация	Рудоконтролирующее значение	Рудоконтролирующие структуры и обстановки
Аллювиальные – пески, алевриты, суглинки с растительным детритом, галечники, гравийники (до 18 м)	Песчано-галечно-гравийная аллювиальная	Золото, алмазы россыпные	Потенциально россыпевмещающие отложения в пределах Анабарского золото-алмазоносного россыпного района и потенциально-го Южно-Тигянского россыпного узла	Современные аллювиальные долины на участках размыва промежуточных коллекторов
Сартанский горизонт. Аллювиальные – пески с прослоями гальки и гравия, алевриты с прослойками растительного детрита (до 12 м)	Галечно-песчаная аллювиальная	Золото, алмазы россыпные		Эрозионно-аккумулятивные обстановки
Муруктинский–каргинский горизонты нерас-члененные. Морские образования – пески с гравием и галькой, галечники с прослоями песка, алевритов и глин, с растительным детритом (до 20 м)	Гравийно-песчаная морская трансгрессивно-регрессивная	Золото россыпное		Погребенно-морские обстановки
Тазовский–казанцевский горизонты нерасчлененные. Аллювиально-морские образования (am) – пески с линзами алевритов, галечников, гравийников (до 20 м)	Гравийно-песчаная аллювиально-морская	Золото, алмазы россыпные		Эрозионно-аккумулятивные обстановки в области неотектонических поднятий в эрозионных окнах
Неоген, плиоцен–квартер, нижний неоплейстоцен нерасчлененные. Аллювиально-морские образования – пески уплотненные с линзовидными прослоями намывного торфа, с включениями гальки янтареподобных смол, известковистых конкреций, ожелезненные песчаники (до 20 м)	Галечно-песчаная аллювиальная	Золото россыпное, янтарь	Потенциально россыпевмещающие отложения в пределах погребенной долины	Погребенная долина
Попигайский комплекс импактитов и импактных брекчий. Мегабрекчии, коптокласты (k), тагамиты и зювиты объединенные (tg+sv) (более 226 м)	Импактитовая алмазоносная	Импактные алмазы	Рудоносные, рудообразующие и рудовмещающие импактные алмазы отложения	Краевая часть Попигайского метеоритного кратера
Альбский–сеноманский ярусы. Бегичевская свита. Пески с гравием и галькой, с обугленной или сидеритизированной древесиной, включения янтаря (20–180 м)	Терригенная субаэральная внутриплитных пенепленов	Золото россыпное, янтарь	Потенциально россыпевмещающие отложения: в целом – для янтаря, в базальных горизонтах – для золота	Озерно-аллювиальные и дельтовые обстановки
Альбский ярус. Огневская свита. Алевриты, глины, углистые глины, бурые угли (80м)	Глинисто-алеврито-песчаная каменноугольная (угленосная) континентальная лимническая регрессивная	Угли каменные	Рудовмещающая и рудоносная среда для пластов каменных углей	Области спокойного компенсированного погружения
Верхнеаптский подъярус. Рассохинская свита. Пески с прослоями глин и алевритов (55–220м)	Песчано-гравийная прибрежно-морская регрессивная	Золото россыпное мелкое и тонкое	Потенциально россыпевмещающие отложения, промежуточный коллектор	Прибрежно-морские обстановки
Нижне–среднеаптский подъярусы. Сангасалинская свита. Глины, глинистые алевриты, прослои песков, бурых углей (26–50м)	Глинисто-алеврито-песчаная каменноугольная (угленосная) континентальная лимническая регрессивная	Угли каменные	Рудовмещающая и рудоносная среда для пластов каменных углей	Области спокойного компенсированного погружения
Берриасский–валанжинский ярусы. Харабыльская свита. Глины, глинистые алевриты с прослоями глинистых песков, в основании оолитовые железные руды (48–200 м)	Алеврито-песчаниковая трансгрессивная	Золото, алмазы россыпные	Потенциально россыпевмещающие отложения базального горизонта, промежуточный коллектор	Озерно-аллювиальные и дельтовые обстановки
Волжский–валанжинский ярусы. Пахсинская свита. Алевриты, глины (25–100 м)				
Волжский–берриасский ярусы. Буолкалахская свита. Алевриты, пески, глины с караваеобразными и лепешковидными конкрециями известковистых алевролитов и песчаников (57 м)	Песчано-глинисто-алевритовая прибрежно-морская	Фосфориты	Рудообразующие, рудоносные и рудовмещающие фосфоритовые конкреции отложения	Области внутриконтинентального мелководья
Геттангский–ааленский ярусы. Зимняя, аиркатская и сайбылахская свиты объединённые. Песчаники, аргиллиты, алевролиты, глины. алевриты, конгломераты (130–200 м)	Конгломерато-алевролито-песчаниковая	Фосфориты, золото россыпное	Рудообразующие, рудоносные и рудовмещающие фосфоритовые конкреции отложения. Потенциально россыпевмещающие отложения базального горизонта	Краевая часть юрского осадочного бассейна, прибрежно-морские обстановки
Осипайская, немцовская и тумулская свиты объединенные. Песчаники, аргиллиты, алевролиты, пропластки углей, в основании конгломераты. Известковые, сидеритовые и фосфоритовые конкреции (до 310 м)	Песчано-конгломератовая	Алмазы, фосфориты	Потенциально россыпевмещающие отложения промежуточный коллектор	Грубообломочные породы верхнего триаса в западной ветви Верхояно-Колымской складчатой области
Осипайская и чайдахская свиты объединенные. Аргиллиты, алевролиты, песчаники, с базальными конгломератами (155 м)	Песчано-конгломератовая	Алмазы		
1. Озеротаймырский комплекс карбонатных инъекционных тектонитов. Известняки, доломиты и карбонатные брекчии, в различной степени мраморизованные. Карбонатиты (?	Карбонатитовая	Pb–Zn–Ag–Au,fl–ba–Pb–Zn	Рудогенерирующие и рудовмещающие для Pb–Zn–Ag–Au и fl–ba оруденения	Крупные тектонически ослабленные зоны глубокого заложения
2. Восточнотаймырский комплекс субщелочной диорит-габбродолеритовый. Силлы и дайки кварцевых диоритов. Дифференцированные силлы, дайки субщелочных габбродолеритов, диоритов, кварцевых диоритов, редко кварцевых сиенитов (νβ–δ), силлы, дайки субщелочных габбродолеритов, феррогаббродолеритов (νβ)	Габбродолеритовая медно-никелевая	Cu,Ni (Au),fl–ba–Pb–Zn	Рудогенерирующие и рудовмещающие для Cu, Ni(Au), fl–ba–Pb–Zn оруденения	
3. Дябякатаринский комплекс плагиоверлит-габбродолеритовый. Дайки, силлы плагиоверлитов, роговообманковых плагиопироксенитов и габбродолеритов	Плагиоверлит габбродолеритовая	Cu,Ni	Рудогенерирующие и рудовмещающие для Cu, Ni оруденения	
Тулайский комплекс гранитовый. Массивы, дайки, силлы аляскитовых гранитов, гранодиоритов	Граносиенитовая	Pd,Zn, графит	Рудогенерирующие и рудовмещающие для Pb, Zn, графитового оруденения	Очаговые глубинные зоны внутриплитных трапповых областей рассеянного рифтогенеза
Левлинский комплекс пикритовых габбродолеритов. Изотропные силлы, иногда дайки. Пикритовые габбродолериты	Медно-никелевая	Cu,Ni,Pt,Pd	Рудогенерирующие, рудовмещающие и рудоносные для Cu,Ni,Pt,Pd оруденения	Крупные тектонически ослабленные зоны глубокого заложения
Быррангский комплекс долеритовый. Силлы и дайки долеритов, оливиновых долеритов	Долерит-габбродолеритовая	Cu–Ni–Co	Рудогенерирующие и рудовмещающие для Cu–Ni–Co оруденения	Крупные тектонически ослабленные зоны
Катангский комплекс габбродолеритовый. Силлы долеритов и оливиновых долеритов с линзами и шлирами габбродолеритов, троктолитовых долеритов, дайки долеритов	Долерит-габбродолеритовая	Cu	Рудовмещающие и рудогенерирующие для медного сульфидно-жильного оруденения	Тектонически ослабленные, проницаемые зоны
Черноярская свита. Полимиктовые песчаники и алевролиты, маломощные прослои углей (1400–1500 м)	Аргиллито-песчаниково-алевролитовая	Pb–Zn–Ag,fl–ba–Pb–Zn	Рудовмещающая среда для серебро-полиметаллического и флюорит-баритового оруденения в зоне влияния рудоподводящих и рудоконтролирующих разломов	Крупные разломы восток-северо-восточного направления и сопряженные с ними диагональные нарушения. Осевые части крупных антиклинальных складок
Потокойская свита. Песчаники, аргиллиты, алевролиты, линзы конгломератов и гравелитов, пласты углей, конкреции сидерита, пирита (200–350 м)	Алевролито-песчаниковая, буроугольная	Бурый уголь	Рудовмещающая и рудоносная среда для пластов бурых углей	Краевая часть позднепалеозойского осадочного бассейна
Байкурская свита. Песчаники, алевролиты и аргиллиты, прослои песчанистых известняков. Остатки фауны и флоры, ходы илоедов (400–1200 м)	Аргиллито-песчаниково-алевролитовая	Pb–Zn–Ag,fl–ba–Pb–Zn	Рудовмещающая среда для серебро-полиметаллического и флюорит-баритового оруденения в зоне влияния рудоподводящих и рудоконтролирующих разломов	Крупные разломы восток-северо-восточного направления и сопряженные с ними диагональные нарушения. Осевые части крупных антиклинальных складок
Соколинская свита. Песчаники, алевролиты, аргиллиты, линзовидные прослои каменных углей и углистых алевролитов (800–1000 м)				
Быррангская свита. Песчаники известковистые, алевролиты, аргиллиты, пропластки углей. Остатки флоры и морской фауны (600–1100 м)				
Турузовская свита. Аргиллиты, алевролиты, известковистые алевролиты и песчаники, прослои и линзы известняков (1000–1200 м)				
Дептумалинская и светланинская толщи объединённые. Известняки доломитизированные, глинистые известняки, аргиллиты, прослои конгломератов и гравелитов (1800–1900 м)	Известняково-доломитовая	fl,ba	Рудовмещающая среда для флюорит-баритовых жил в зоне влияния разломов, ограничивающих тектонические блоки	Крупные разломы восток-северо-восточного направления и сопряженные с ними диагональные нарушения
Сопочная, юктинская, юрюнгтумусская свиты и нерасчленённые отложения фаменского яруса объединенные. Известняки, гипсы, ангидриты, соли, карбонатные брекчии (более 650 м)	Галогенно-ангидритово-мергельно-доломитовая лагунно-морская	Каменная соль, флюорит, гипс, боросиликаты	Рудовмещающая и рудоносная среда для каменных солей, гипса, флюорита, боросиликатов	Соляные купола в Цветковско-Нордвикской минерагенической области. Область осадочных прогибов надрифтовых систем

П Р О Ч И Е О Б О З Н А Ч Е Н И Я

Вулканические породы основного состава, туфы и лавы

cr — Карбонатиты метасоматические

Геологические границы:
- достоверные
- предполагаемые
- несогласного залегания достоверные
- несогласного залегания предполагаемые
- фациальные

Разрывные нарушения

Главные
- Разломы достоверные, выходящие на картографируемую поверхность
- Разломы предполагаемые, выходящие на картографируемую поверхность
- Надвиги достоверные
- Надвиги предполагаемые

Второстепенные
- Надвиги достоверные
- Разломы неустановленной морфологии, достоверные
- Разломы предполагаемые, выходящие на картографируемую поверхность
- Сдвиги левые достоверные
- Сдвиги правые достоверные
- Разломы по геофизическим данным

Рудоконтролирующие разломы
- Надвиги достоверные
- Разломы неустановленной морфологии, достоверные

Скважины
- Улаханская-1 — Буровые
- Костраминская-1 10 — Параметрическая

- Потенциально россыпевмещающие отложения базального горизонта
- Потенциально россыпевмещающие отложения в пределах Анабарского золото-алмазоносного россыпного района и Южно-Тигянского золотоносного россыпного узла

СХЕМА МИНЕРАГЕНИЧЕСКИХ ПРОВИНЦИЙ

Масштаб 1 : 5 000 000

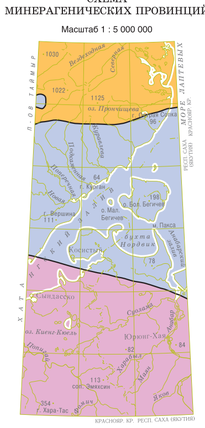

УСЛОВНЫЕ ОБОЗНАЧЕНИЯ
- Таймыро-Североземельская минерагеническая провинция
- Верхояно-Колымская минерагеническая провинция
- Восточно-Сибирская минерагеническая провинция

СХЕМА ИСПОЛЬЗОВАННЫХ МАТЕРИАЛОВ

Масштаб 1 : 5 000 000

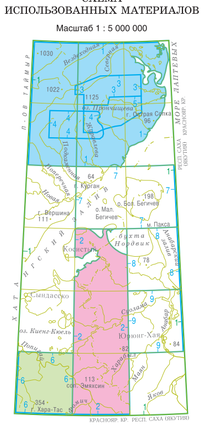

- 4 — Площади геологических исследований масштаба 1 : 200 000
- 1 — Площади АФГК масштаба 1 : 200 000 (В.В. Беззубцев, 1979 г.)
- 2 — Площади проведения ГГС масштаба 1 : 200 000 (В.Н. Бобров, 1990 г.)
- 5 — Площади работ по созданию ГГК–200 (Л.И. Федотова, 1987 г.)
- 1 — Площади аэромагнитной съемки масштаба 1 : 200 000

Геологические исследования

Государственная геологическая карта РФ масштаба 1 : 1 000 000 (ГГК–1000/2) ФГУП "ВНИИОкеангеология", 1998 г. Весь лист

Геологическая съемка масштаба 1 : 200 000 (Ю. Е. Погребицкий 1954–1961). Весь лист

Масштаб 1 : 200 000
1. В.В. Беззубцев, 1979 г.
2. В.Н. Бобров, 1990 г.
3. Р.В. Былинский, 1963 г.
4. Г.И. Степанов, 1962 г.
5. Г.И. Степанов, 1963 г.
6. Л.И. Федотова, 1987 г.
7. В.Н. Зенков, 1987 г.
8. С.Ф. Духанин, 1974 г.
9. В.Н. Бобров, 1985 г.

Оформлено и отпечатано на Картографической фабрике ВСЕГЕИ
Заказ 81011037. Тираж 150 экз. Подписано к печати 30.09.2013

Картографическая фабрика ВСЕГЕИ
199178, Санкт-Петербург, Средний пр., 72. Тел. 321-8121, факс 321-8153